

پیش‌بینی انتشار قطرات حامل ویروس کرونا ناشی از عطسه در یک واگن مترو با استفاده از روش ترکیبی دینامیک سیالات محاسباتی - هوش مصنوعی

جواد محبی نجم‌آباد^{۱*}، رسول علیزاده^۲، مهرداد مسگرپور^۳

^۱ استادیار، گروه مهندسی کامپیوتر، واحد قوچان، دانشگاه آزاد اسلامی، قوچان، ایران، javad.mohebi@gmail.com

^۲ استادیار، گروه مهندسی مکانیک، واحد قوچان، دانشگاه آزاد اسلامی، قوچان، ایران، rasoolalizadeh86@gmail.com

^۳ مرکز تحقیقات جریان دوفازی، دپارتمان مهندسی مکانیک، دانشگاه تبریز، بانکوک تایلند، mesgarpour-mehrdad@hotmail.com

تاریخ دریافت مقاله ۱۰/۱۰/۱۳۹۹، تاریخ پذیرش مقاله ۲۵/۱۱/۱۳۹۹

چکیده: انتشار کووید-۱۹ به عنوان یک ویروس با همه‌گیری بالا و مرگبار اثر بسیار عمیقی بر جوامع انسانی داشته است. عطسه فرد آلوده یکی از مهم‌ترین منابع انتشار و پراکندگی ویروس است. در این تحقیق با ترکیب روش‌های دینامیک سیالات محاسباتی و روش هوش مصنوعی سعی در پیش‌بینی الگو و تخمین مدل انتشار ویروس کووید-۱۹ موجود در ذرات عطسه در محیط داخلی واگن مترو شده است. در تحلیل این مسئله با ارائه راه حل ترکیبی دینامیک سیالات محاسباتی و هوش مصنوعی، سعی بر مدل‌سازی و پیش‌بینی الگوی انتشار ویروس موجود در ذرات قطره شده است. نتایج بررسی نشان می‌دهد که انتشار قطرات عطسه در واگن مترو به دلیل وجود ذرات ۱ تا ۲۵۰ میکرون میتواند تمام محیط را آلوده کند. همچنین مشخص شد سرعت انتشار ویروس تابعی از سرعت هوای موجود در مترو است. نتایج نشان داد که ذرات معلق بین ۱ تا ۴۰۰ میکرون در طول واگن پخش می‌شود و احتمال سرایت بیماری را به شدت افزایش می‌دهند. ذرات سنگین با تنهشین شدن در نواحی نزدیک فرد آلوده منجر به الودگی سطوح در این نواحی می‌شود.

کلمات کلیدی: کووید-۱۹، قطره، دینامیک سیالات محاسباتی، شبکه تطبیق‌پذیر، عطسه

Prediction of the spread of Corona-virus carrying droplets in a metro wagon - A computational based artificial intelligence approach

Javad mohebbi Najm Abad, Rasool Alizadeh, Mehrdad Mesgarpour

Abstract: Assessing the risk of transmitting the coronavirus is essential for protecting public health under the COVID-19 epidemic. Public transportation such as buses and metro wagon is the most important COVID-19 dispersion source. In the last decade, numerical simulation plays a vital role in predicting. In this case study, a combination of numerical simulation and artificial intelligence tries to predict the droplet of the sneezing process. As a case study, the Metro wagon was considered, and droplet dispersion along the bus was studied. The result indicated that the small diameter could easily transport along with the wagon. It also shows that the large area under affected by particle deposition. In this case study, a combination of numerical simulation and artificial intelligence has a great result.

Keywords: COVID-19, Droplet distribution, CFD, Artificial intelligent

۱- مقدمه

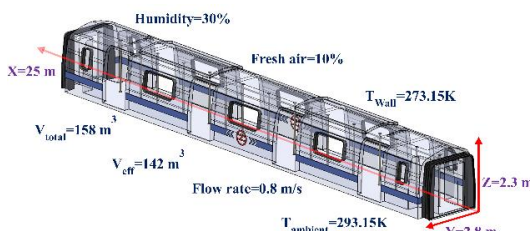
تشخیص دهنده سیستم حمل و نقل عمومی سهم قابل توجه ای در انتقال کووید-۱۹ دارد [۸]. در نتیجه، تأکید زیادی بر کاهش خطر انتقال این ویروس در حمل و نقل عمومی از جمله اتوبوس‌ها و واگن‌های مترو وجود دارد. این به نوبه خود نیاز به پیش‌بینی انتشار ویروس در محیط داخلی دارد. اگرچه با انجام تجزیه و تحلیل عددی می‌توان چنین پیش‌بینی هایی را انجام داد، اما با محاسباتی زیاد آن، تقریباً استفاده از این مدل حل را غیر ممکن می‌سازد. به عنوان یک راه حل، می‌توان از تکنیک‌های هوش مصنوعی برای کاهش بار تجزیه و تحلیل عددی استفاده کرد. این امر باعث توسعه یک مدل داده محور می‌شود که از داده‌های به دست آمده در محاسبات عددی در بخش کوچکی از دامنه استفاده می‌شود و بقیه نتایج را برآورده باشد. این روش قبلاً توسط مراجع [۱۶-۱۸] مورد استفاده قرار گرفته است. از این‌رو، مطالعه حاضر شامل یک قسمت محاسباتی است که در مطالعه عددی، از دینامیک سیالات محاسباتی برای مدل‌سازی جریان هوای سه‌فاز قطرات مایع و بخار آب در طی فرایند انتشار قطرات استفاده شده است. مدل جریان سه‌فاز بر اساس تغییرات قطر ذرات است که در فرایند عطسه و انتقال آنها توسط جریان هوا مشاهده می‌شود. نتایج عددی به هوش مصنوعی منتقل می‌شود که توزیع قطره درون یک واگن مترو را پیش‌بینی کند.

۲- بیان مسئله

برای درک چگونگی توزیع ذرات عطسه در واگن هنگام عطسه فرد، مطالعه عددی و شبیه‌سازی بهترین راه درک است. برای دستیابی به این هدف در این بخش، با معرفی مسئله و شرایط مرزی در حوزه شبیه‌سازی، ساختار مدل انتشار ویروس کووید-۱۹ موجود در قطرات برازق را بررسی خواهیم کرد.

۲-۱- هندسه مسئله

بر اساس این تحقیق، حمل و نقل عمومی یکی از مهم‌ترین منابع انتقال بیماری است. با توجه به مسئولیت اجتماعی نویسنده‌گان این تحقیق تصمیم به مدل‌سازی یکی از مهم‌ترین وسایل حمل و عمومی می‌گیرند. مطالعه آلدگی کووید-۱۹ منتشر شده به وسیله عطسه در واگن مترو به صورت ویژه در این تحقیق بررسی شده است. واگن مترو به عنوان متدالول ترین حمل و نقل عمومی دارای ویژگی خاصی است که آن را مهم می‌کند. در این مطالعه، یکی از انواع متدالول قطار شهری مورد بررسی قرار می‌گیرد. مطابق شکل ۱، تصویر گرافیکی واگن مترو شهری و طرح داخلی وجود دارد.



شکل ۱: نمایی از ابعاد هندسی مسئله و نیز سایر مشخصات مرزی

شیوع ویروس کرونا از طریق قطرات تولید شده در اثر عطسه و سرفه در ماههای اخیر توجه زیادی را به خود جلب کرده است. نتایج نشان داده است که این فرایند می‌تواند انتقال ویروس را ۱۸ برابر افزایش دهد [۸-۱]. پراکنده‌گی قطرات حاصل از عطسه انسان فرایند بسیار پیچیده ای است. با خروج از دهان، قطره برازق به قطرات کوچک‌تر تقسیم می‌شود. تبخیر و کاهش قطر قطرات باعث تغییرات در زمان معلق شدن قطرات در هوا می‌شود. این امر باعث می‌گردد که ایجاد مدل‌های پیش‌بینی کننده برای انتشار چنین قطراتی و انتقال ویروس را پیچیده شود.

در حال حاضر مطالعات زیادی در زمینه مدل‌سازی عطسه انجام شده است. در سال ۲۰۱۹، بنی و همکاران [۹] فرایند انتقال قطرات تولید شده توسط عطسه در مجاری تنفسی انسان را مطالعه کردند. نتایج نشان داد که اگر سرعت متوسط جریان ۴/۷۹ لیتر در ثانیه باشد سرعت جریان هوای خروجی از دهان و بینی به ترتیب به $5/5$ و $4/8$ متر در ثانیه می‌رسد. در سال ۲۰۲۰ سیننگ و تریپاتی [۱۰] انتشار ذرات عطسه را در یک اتاق به صورت عددی شبیه‌سازی کردند. در این تحقیق مدلی برای اندازه‌گیری انتقال ذرات در هوای اطراف اتاق ارائه شد. تحقیقات توسط کاتب و خلیل [۱۱] با مطالعه عددی انتشار ذرات حاوی ویروس کووید-۱۹ به داخل هوایپمای مسافتی ادامه پیدا کرد. آنها نشان دادند که جریان قطرات ناشی از سرفه و عطسه از مسافران در حال حرکت می‌تواند به مسافران نشسته برسد. با این حال، قطرات عطسه تأثیرات مضر بیشتری نسبت به قطرات سرفه داشتند، همچنین مقایسه بین دامنه پخش قطرات حاصل از مسافر در حال حرکت و ایستاده نشان داد که مسافر هرچه سریع‌تر حرکت کند، قطرات بیشتر گسترش می‌یابد. علی حسن [۱۲] اثرات تهیه بر انتشار ویروس در یک اتاق را مورد مطالعه و بررسی قرار دادند. نتایج نشان داد که شدت و جهت جریان هوا در داخل اتاق تأثیر قابل توجه ای بر مدل انتشار ویروس دارد. بوسکو و همکاران [۱۳] مطالعه جامع ای از گسترش ویروس در محیط انجام دادند و نتایج آنها مشخص کرد که رسوب ذرات تابعی از قطره متوسط آنها است. آنها همچنین نشان دادند که اثرات زیست-محیطی نقش عمده‌ای در انتشار ذرات دارد. چادری و همکاران [۷] مدل توزیع و آلدگی قطرات را بر اساس واکنش قطرات به دست آوردند. مدل تجربی به دست آمده از قطرات توسط آنها نشان داد که زمان تبخیر و خشک شدن قطرات به دمای محیط وابسته است. ورما و همکاران [۱۴] نشان داد که استفاده از سپرهای محافظ می‌تواند تأثیر قابل توجهی در الگوی انتشار و همچنین گسترش آلدگی در فرایند عطسه داشته باشد. در مطالعه دیگری، لی و همکاران [۱۵] مدل انتشار قطرات ناشی از عطسه و غلظت ذرات آلدده در محیط را بررسی کردند. ابوجازی و همکاران [۸] با بررسی مدل انتشار ذرات معلق در هوا، دریافت که این ذرات به راحتی توسط جریان محیط، در محیط منتقل می‌شوند. به طور کلی، روش‌های عددی یک چارچوب مناسب برای مطالعه انتشار ویروس فراهم می‌کنند. از این‌رو، تعدادی از محققان سعی کردند با شبیه‌سازی‌های عددی، منطقه آلدده را

$$\begin{aligned} & \frac{\partial(\alpha^{m^*} \rho^{m^*} v^{m^*})}{\partial t} + \frac{\partial(\alpha^{m^*} \rho^{m^*} u^{m^*} v^{m^*})}{\partial x} + \frac{\partial(\alpha^{m^*} \rho^{m^*} v^{m^*} v^{m^*})}{\partial y} \\ & + \frac{\partial(\alpha^{m^*} \rho^{m^*} w^{m^*} v^{m^*})}{\partial z} = \frac{\partial}{\partial x} \left[\alpha^{m^*} (\mu^{m^*} + \mu_T^{m^*}) \frac{\partial v^{m^*}}{\partial x} \right] + \\ & \frac{\partial}{\partial y} \left[\alpha^{m^*} (\mu^{m^*} + \mu_T^{m^*}) \frac{\partial v^{m^*}}{\partial y} \right] + \frac{\partial}{\partial z} \left[\alpha^{m^*} (\mu^{m^*} + \mu_T^{m^*}) \frac{\partial v^{m^*}}{\partial z} \right] + S_{v^{m^*}} \quad (3) \end{aligned}$$

$$\begin{aligned} & \frac{\partial(\alpha^{m^*} \rho^{m^*} w^{m^*})}{\partial t} + \frac{\partial(\alpha^{m^*} \rho^{m^*} u^{m^*} w^{m^*})}{\partial x} + \frac{\partial(\alpha^{m^*} \rho^{m^*} v^{m^*} w^{m^*})}{\partial y} \\ & + \frac{\partial(\alpha^{m^*} \rho^{m^*} w^{m^*} w^{m^*})}{\partial z} = \frac{\partial}{\partial x} \left[\alpha^{m^*} (\mu^{m^*} + \mu_T^{m^*}) \frac{\partial w^{m^*}}{\partial x} \right] + \\ & \frac{\partial}{\partial y} \left[\alpha^{m^*} (\mu^{m^*} + \mu_T^{m^*}) \frac{\partial w^{m^*}}{\partial y} \right] + \frac{\partial}{\partial z} \left[\alpha^{m^*} (\mu^{m^*} + \mu_T^{m^*}) \frac{\partial w^{m^*}}{\partial z} \right] + S_{w^{m^*}} \quad (4) \end{aligned}$$

معادله انرژی:

$$\begin{aligned} & \frac{\partial(\rho^m H^m)}{\partial t} + \nabla \cdot (\rho^m U^m w^m) = \nabla \cdot (\lambda^m \Delta T^m) - \nabla \cdot q_H^{m^*} + \\ & \zeta - \nabla \cdot \sum_{m=1}^2 (\alpha^{m^*} \rho^{m^*} U^{dr,m^*} H^{m^*}) \rho^m = \sum_{m=1}^2 (\alpha^{m^*} \rho^{m^*}), \lambda^m = \sum_{m=1}^2 (\alpha^{m^*} \lambda^{m^*}) \quad (5) \end{aligned}$$

که آنتالپی و سرعت از معادله زیر به دست می‌آید:

$$U^m = \frac{\sum_{m=1}^2 (\alpha^{m^*} \rho^{m^*} U^{m^*})}{\sum_{m=1}^2 (\alpha^{m^*} \rho^{m^*})}, H^m = \frac{\sum_{m=1}^2 (\alpha^{m^*} \rho^{m^*} H^{m^*})}{\sum_{m=1}^2 (\alpha^{m^*} \rho^{m^*})} \quad (6)$$

۲-۳- شبیه سازی مدل (LES)

در LES، گردابهای بزرگ حاوی انرژی مستقیماً محاسبه می‌شوند. برای جریان چند فازی، فرمول بندهای ریاضی شامل یک فاز پیوسته و گستته است. معادلات پیوستگی و مومنتوم به کاررفته در مدل LES به شرح زیر تعریف شده است [۲۲]:

$$\left(\frac{\partial \rho}{\partial t} \right) + \left(\frac{\partial (\rho u_i)}{\partial x_j} \right) = 0 \quad (7)$$

$$\left(\frac{\partial (\rho u_i)}{\partial t} \right) + \left(\frac{\partial (\rho u_i u_j)}{\partial x_j} \right) = - \left(\frac{\partial p}{\partial x_i} \right) + \left(\frac{\partial \sigma_{ij}}{\partial x_j} \right) - \left(\frac{\partial \tau_{ij}}{\partial x_i} \right) + S \quad (8)$$

در اینجا S نیروی گرانش و کشش سطحی می‌باشد τ_{ij} تانسور تنشن است

$$\begin{aligned} \tau_{ij} & \approx \rho (\bar{u}_i \bar{u}_j - \bar{u}_i \bar{u}_j) \\ S_{ij} & = \frac{1}{2} \left(\frac{\partial (\bar{u}_j)}{\partial x_i} + \frac{\partial (\bar{u}_i)}{\partial x_j} \right) \quad (9) \end{aligned}$$

در فشار محیط، برخورد قطرات میتواند منجر به بهم پیوستگی جزئی می‌شود در حالی که در فشار بالاتر ممکن است جریان برگشتی ایجاد کند. فیلم هوای نازک جدا کننده دو قطره میتواند منجر به شکست قطرات به سایز ریزتر بشود، به دلیل پیچیدگی فرایند عطسه، در اینجا، از یک حل کننده جریان چندلایه استفاده شد. دامنه به چهار قسمت تقسیم می‌شود. در قسمت اول، جریان هوای داخلی منتهی به دهان با استفاده از RANS تک‌فاز، مدل K-epsilon با درنظر گرفتن حرکت در محیط دهان مدل سازی شد.

شکل ۱ نشان می‌دهد که واگن مترو شهری دارای ظرفیت خالص ۱۵۸ مترمکعب است. با درنظر گرفتن صندلی و جز دیگر، حجم خالص واگن مترو حدود ۱۴۲ مترمکعب خواهد بود. دیواره واگن مترو شرایط مرزی دمای ثابت در نظر گرفته شد. همچنین در هنگام شبیه‌سازی درب خروجی بسته شد. برای ساده‌سازی شبیه‌سازی، فقط یک نفر در انتهای واگن مترو در نظر گرفته شد. طبق شکل ۲ (الف)، مردمی در انتهای واگن مترو ایستاده و عطسه می‌کند. او ۱۸۰ متر قد دارد و دقیقاً در انتهای واگن مترو ایستاده است. تهیه در واگن مترو در مدرن شهری تجهیزات استاندارد است؛ بنابراین، در این مورد، مطالعه، تهیه در حالت پایدار فرض شد. جریان هوای پایدار ($V = 0.1 \text{ m/s}$) در طول واگن مترو توزیع می‌شود. این سیستم حلقه بسته بود و در دما و رطوبت ثابت می‌ماند. دمای محیط ۲۵ درجه سانتیگراد و رطوبت ۳۰ درصد در نظر گرفته شده است. تمام دیوار و درب واگن مترو دما ثابت است. همچنین جریان گرمای از سقف وجود ندارد.



(الف)



(ب)

شکل ۲: نمایی از ابعاد هندسی مسئله و نیز سایر مشخصات مرزی (الف) محل قرارگیری فرد از روپرتو، (ب) نمای جانی محل قرار گیری عطسه کننده

۲-۴- معادلات حاکم:

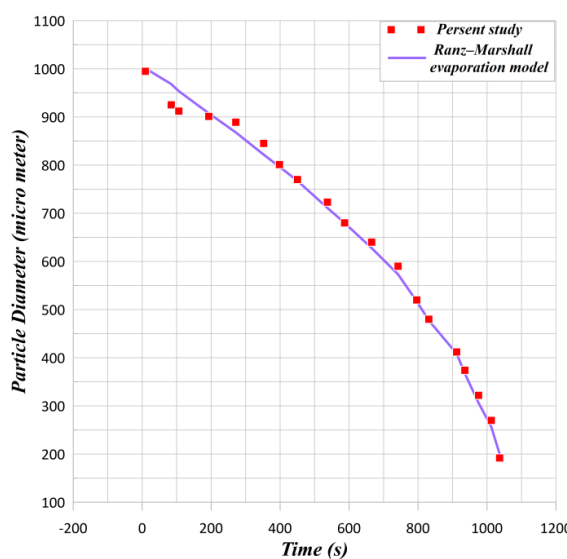
معادلات حاکم پیوستگی، مومنتوم و انرژی برای جریان سیال چند فازی به صورت زیر است [۱۹-۲۱]:

معادله پیوستگی:

$$\begin{aligned} & \frac{\partial(\alpha^{m^*} \rho^{m^*})}{\partial t} + \frac{\partial(\alpha^{m^*} \rho^{m^*} u^{m^*})}{\partial x} + \\ & \frac{\partial(\alpha^{m^*} \rho^{m^*} v^{m^*})}{\partial y} + \frac{\partial(\alpha^{m^*} \rho^{m^*} w^{m^*})}{\partial z} = S_{m^*}^{\text{int}} \quad (1) \end{aligned}$$

معادلات مومنتوم در جهات X-Y-Z:

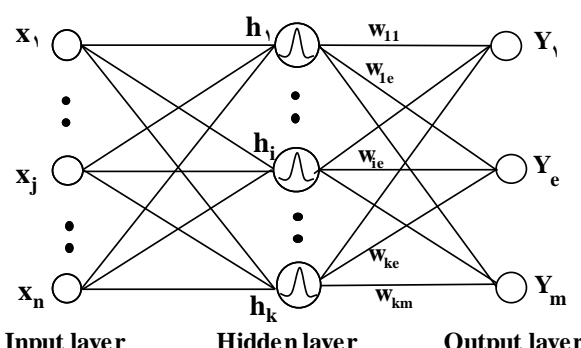
$$\begin{aligned} & \frac{\partial(\alpha^{m^*} \rho^{m^*} u^{m^*})}{\partial t} + \frac{\partial(\alpha^{m^*} \rho^{m^*} u^{m^*} u^{m^*})}{\partial x} + \frac{\partial(\alpha^{m^*} \rho^{m^*} v^{m^*} u^{m^*})}{\partial y} \\ & + \frac{\partial(\alpha^{m^*} \rho^{m^*} w^{m^*} u^{m^*})}{\partial z} = \frac{\partial}{\partial x} \left[\alpha^{m^*} (\mu^{m^*} + \mu_T^{m^*}) \frac{\partial u^{m^*}}{\partial x} \right] + \\ & \frac{\partial}{\partial y} \left[\alpha^{m^*} (\mu^{m^*} + \mu_T^{m^*}) \frac{\partial u^{m^*}}{\partial y} \right] + \frac{\partial}{\partial z} \left[\alpha^{m^*} (\mu^{m^*} + \mu_T^{m^*}) \frac{\partial u^{m^*}}{\partial z} \right] + S_{u^{m^*}}^{\text{int}} \quad (2) \end{aligned}$$



شکل ۴: اعتبارسنجی تحلیل انجام شده با مقالات مرجع [۱] و [۲]

۴- شبکه قابع پایه شعاعی

شبکه قابع پایه شعاعی (RBF) یکی از انواع شبکه‌های عصبی است که برای تخمین تابع عملکرد مناسبی ارائه می‌دهد. خروجی شبکه، ترکیب خطی از توابع پایه شعاعی برای پارامترهای ورودی و نرون‌ها است. این شبکه دارای سه لایه‌ی ورودی، لایه‌ی پنهان و لایه‌ی خروجی است. داده‌ها از طریق سه لایه‌ی ورودی به شبکه‌ها وارد می‌شوند. ورودی‌ها می‌توانند یک پردار از اعداد حقیقی باشند. لایه‌ی پنهان شامل توابع پایه شعاعی است که نام شبکه از این خصوصیت شبکه گرفته شده است. لایه سوم، شامل نرون‌هایی است که هر یک از آن‌ها یک ترکیب خطی وزن دار شده از خروجی نرون‌های لایه‌ی میانی است. ساختار شبکه در شکل ۵ نمایش داده شده است.



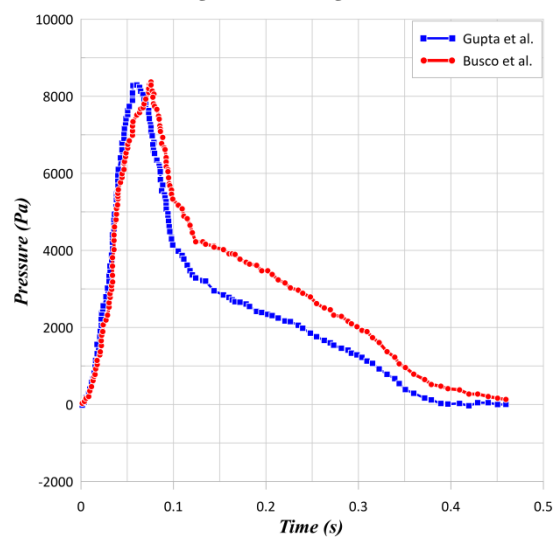
شکل ۵: ساختار شبکه عصبی پایه شعاعی

x_j^i ، سمبول ورودی j ام برای شبکه‌ای است که تعداد ورودی‌های آن برابر با n عدد است. لایه‌ی ورودی بدون اینکه تغییری در داده‌ها ایجاد نکند، آنها را برای لایه پنهان ارسال می‌کند. لایه پنهان که شامل k نرون است، از توابع پایه شعاعی به عنوان تابع فعالیت هر یک از نرون‌ها بهره می

در این بخش، از یک ساختار مش چندوجهی و ارتباط ساده سرعت و فشار استفاده شد. از آنجاکه پیکربندی شامل یک حالت تک فاز در ورودی همراه با بزاق در کل سطح داخلی دهان است، از یک حجم مایعات (VOF) برای مدل‌سازی جریان دو فاز در آن منطقه استفاده شد. این یک مدل ترکیبی را ارائه می‌دهد که به عنوان یک جریان تک فاز شروع می‌شود و به تدریج به یک جریان سه فاز تبدیل می‌شود.

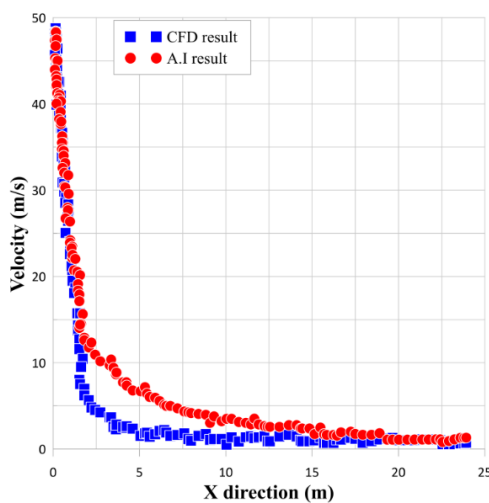
۳- پروفیل عطسه

عطسه مکانیسمی است که بدن شما برای پاک‌سازی مجاری هوایی استفاده می‌کند. وقتی مواد خارجی مانند آلدگی، گرده، دود یا گردوبار به سوراخ‌های بینی وارد شود، ممکن است بینی تحریک داده شود. وقتی این اتفاق می‌افتد، بدن شما آنچه را که باید برای پاکسازی بینی انجام دهد انجام می‌دهد - باعث عطسه می‌شود. عطسه یکی از اولین موارد دفاعی بدن در برابر باکتری‌های مهاجم و اشکالات است. همچنین این فرایند دارای مشخصات و فشار منحصر به فرد است. مطابق شکل ۳ گرادیان فشار در مدت زمان بسیار کمی اتفاق می‌افتد. در تحلیل این مسئله از میانگین مقادیر نمودار زیر به عنوان شرایط مرزی فشاری استفاده شده است. در فرایند عطسه جریان گازی از گلو شروع می‌شود و در این فاصله از فضای داخلی دهان عبور کرده و بزاق را حمل می‌کند. این روند در انسان اتفاق می‌افتد. مطابق این تنظیم، جریان مایع در پروفیل فشار از دهان خارج می‌شود. فضای داخلی دهان دیواره است و گلو وضعیت فشار ورودی فشار است. در لحظه اولیه، جریان سیال یک فاز با $R.H = 75\%$ است. دمای جریان ورودی حدود ۳۵ درجه است. جریان بزاق به جو خارج شد. با توجه به هندسه دهان، این فشار باعث سرعت $m/s = 1.65$ محل لب می‌شود. محل خروج دهان یک خروجی فشار و یک قطره همگن توزیع بزاق بود. دمای اولیه قطره ۳۵ درجه سانتیگراد در نظر گرفته شده است. در شکل چهار نتایج بررسی مدل پیش‌بینی سایز قطرات بر اساس مدل تبخیر و مقایسه آن با تحقیق حاضر نشان داده شده است. یکی از موارد بسیار مهم در شبیه‌سازی فرایند عطسه آن است که تابع توزیع فشار عطسه همواره بر مبنای یک تابع وابسته به زمان و دارای حالت سینوسی در نظر گرفته می‌شود.



شکل ۶: فشار عطسه گاپتا [۲۳] و بوسکو [۲۴]

در ک درستی از غلط غلظت ذرات آلوده در محیط‌های مختلف واگن مترو به دست بددهد. همچنین فرایند تهنشینی ذرات به‌واسطه ابعاد و اندازه آنها نیز در این تحلیل قابل بررسی و تفکیک است در مسئله احتمال فرایند آلوده شدن افراد در این محیط دو پارامتر مهم مدت زمان و غلظت ذرات در اطراف فرد بیشترین اهمیت را دارد در شکل شماره ۶ تابع توزیع سرعت ذرات بین ۵۰۰ تا ۶۰۰ میکرون در طول واگن مترو برای هر دو حالت تحلیل عددی و روش هوش مصنوعی نشان‌داده شده است نتایج به روشنی نشان می‌دهد که با مقایسه این دو روش تطبیق خوبی را در پیش‌بینی سرعت و نیز اثر فاصله بر آن نشان می‌دهد در این شکل مشاهده می‌شود که بیشترین افت سرعت در فاصله یک تا دو متری فرد عطسه کننده است.



شکل ۶: تابع توزیع سرعت بر مبنای تحلیل هوش مصنوعی و تحلیل عددی در شکل شماره ۷ همچنین مشاهده می‌شود که سرعت ذرات در انتهای مسیر و نزدیک خروجی درب واگن مترو به سرعت کاهش یافته و عملاً توسط جریان هوا ذرات معلق منتقل می‌شود که این مسئله افزایش احتمال آلودگی و انتشار ویروس را در پی دارد. می‌دانیم که ذرات با قطرهای مختلف به دلیل نیروی جاذبه و برآیند نیروهای وارد بر آن‌ها نرخ متفاوتی است رسوب نشینی را تجربه می‌کنند و بر این مبنای مقایسه دامنه متفاوت از قطر ذرات معلق در هوا می‌تواند کمک کند اثر قطر ذرات بر سرعت تهنشینی می‌تواند نقش مؤثری بر فرایند انتشار آلودگی در واگن مترو داشته باشد یکی از مهم‌ترین موارد انتشار آلودگی و ویروس درصد غلظت ویروس نسبت به فاصله طولی برای محیط داخلی واگن مترو است. در شکل شماره ۸ توزیع سرعت در فاصله ابتدا تا انتهای واگن مترو به صورت یکنواخت نشان‌داده شده است نتایج به روشنی نشان می‌دهد که با افزایش قطر ذرات سرعت تهنشینی کاهش می‌باید همچنین سرعت متوسط ذرات با کاهش قطر آنها در طول واگن مترو به صورت نسبی افزایش می‌باید

برد. تابع گوسی استفاده شده در نمونه‌های لایه پنهان با رابطه زیر ارائه شده است:

$$h_i = \phi_i(X - \mu_i) = \exp\left(-\frac{\|X - \mu_i\|}{2\sigma_i^2}\right) \quad (10)$$

در این رابطه، ϕ_i اندیس نمونه لایه پنهان است. μ_i و σ_i به ترتیب مرکز و شعاع پذیرش نمونه هستند. حاصل تابع نمونه‌های لایه مخفی برای نمونه‌های لایه خروجی ارسال می‌شوند. نمونه‌های لایه خروجی، از یک رابطه خطی بر روی مقادیر دریافتی از لایه پنهان استفاده می‌کند. اتصال بین نمونه‌های لایه پنهان و لایه خروجی دارای وزن هستند. این وزن‌ها پارامترهای قابل آموزش شبکه هستند. به بیانی دیگر، ورودی‌های لایه خروجی، مجموع وزن دار تابع پایه شعاعی است، که با رابطه زیر نمایش داده شده است:

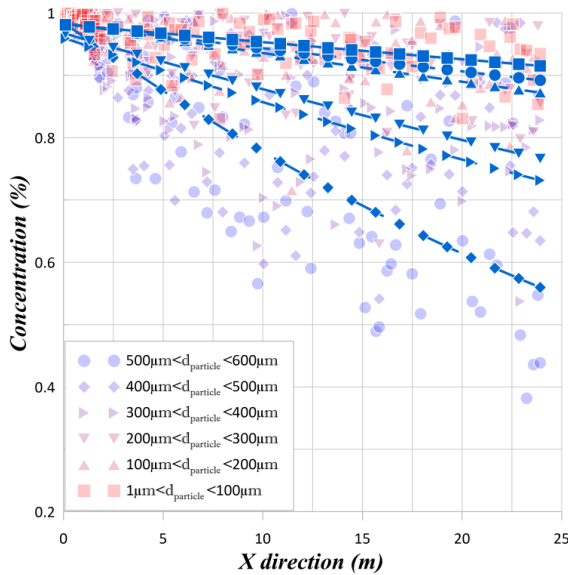
$$y_e = \sum_{i=1}^k w_{ie} h_i(X) \quad (11)$$

تابع y_e نمونه ام لایه خروجی شبکه است. دو سطح یادگیری برای آموزش شبکه RBF وجود دارد. در سطح اول، مرکز و شعاع نمونه‌های لایه میانی تعیین می‌شوند. بدین منظور از روش‌های مختلفی مانند انتخاب تصادفی، خود سازمان یافته و نظارت شده استفاده می‌شود. البته در این تحقیق، از خوشبندی k-تاپی برای تعیین مرکز اولیه استفاده شده است. در سطح دوم، وزن‌های بین لایه پنهان و لایه خروجی یادگرفته می‌شوند. یک روش معمول برای آموزش وزن‌های شبکه RBF، الگوریتم انتشار خط است که در دیگر شبکه‌های عصبی مانند شبکه عصبی پرسپترون چندلایه ای استفاده شده است.

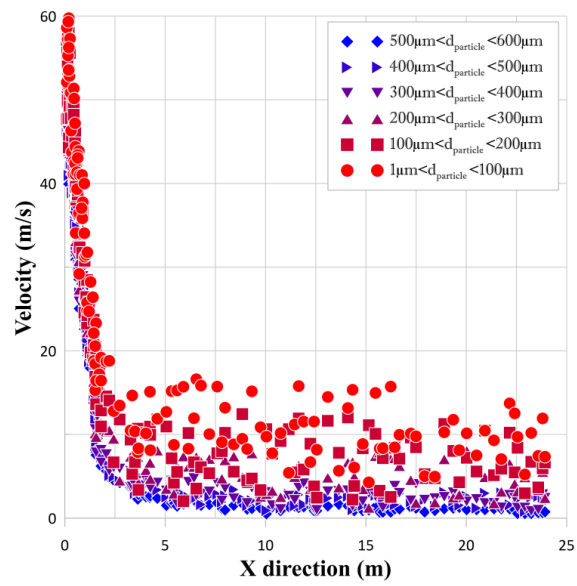
۵- نتایج

مدل‌سازی پدیده انتقال قطرات عطسه درون محیط واگن مترو به دلیل پیچیدگی‌های بسیار در انتقال ذره و نیز تولید شبکه محاسباتی اطراف قطرات در حال سقوط پیچیدگی‌های فراوانی دارد در این تحقیق با مدل ابتکاری که به صورت ترکیب هوش مصنوعی و مدل محاسباتی بر مبنای دینامیک سیالات بنا شده است سعی در پیش‌بینی و شبیه‌سازی الگوی انتشار فرایند انتشار قطرات سرعت جریان و نیز خواص بzac دهان بر مبنای الگوهای انتشار قطرات سرعت جریان و نیز هندسه قطره تغییر می‌کند. به عبارت دیگر فرایند تهنشینی قطرات ناشی از عطسه که بر مبنای وزن تعریف می‌شوند. در طول هندسه مسئله با توجه به شرایط هندسی تغییر می‌کند از آنجایی که محاسبات برای این پدیده بسیار پیچیده بوده و نیز مدل رفتاری ذرات که به صورت تهنشینی و انتقال توسط جریان هوا ادامه پیدا می‌کنند می‌تواند

مسئله آن است که وجود جریان سراسری از انتهای تا ابتدای واگن مترو عملاً موجب پراکندگی راحت ویروس و رسوب ذرات حاوی بیماری در سطوح می‌شود در به کار گیری فرایندهای تهويه مطبوع درون محیط واگن مترو و واگن‌های مسافری این نکته بسیار قابل ملاحظه است که فرایند تزریق هوا و مکش آن به صورت محلی و موضعی در نظر گرفته شود زیرا انتقال ذرات حاوی ویروس در فواصل طولانی به وسیله جریان هوا به سادگی صورت می‌گیرد لذا با تغییر فرایند مکش هوا و نیز افزایش تعداد خروجی‌ها و ورودی‌های جریان هوا در واگن می‌توان از انتشار آلودگی جلوگیری کرد.

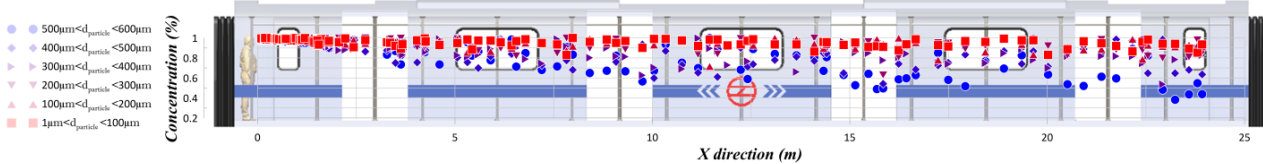


شکل ۸: توزیع غلظت در طول واگن مترو بر اساس تغییرات قطر پارامترهای تغییر غلظت و نیز تغییرات آن در طول محیط داخلی واگن مترو یکی از مهم‌ترین نتایج و نیازمندی‌های مطالعه اثر آلودگی فرایند عطسه در واگن مترو است مطابق شکل هفت به روشنی مشاهده می‌شود که با افزایش قطر ذرات در صد غلظت ذرات معلق در هوا به شدت کاهش می‌یابد این در صد که به صورت تعداد در هر متر مکعب در نظر گرفته شده است نشان می‌دهد که افزایش قطر ذرات منجر به کاهش غلظت می‌شود کاهش غلظت به واسطه پدیده رسوب است در طراحی سیستم‌های تهويه غلظت می‌تواند یکی از فاکتورهای مهم باشد. توزیع پراکندگی ذرات در شکل ۹ نشان داده شده است. پراکندگی نشان داده شده در این شکل بر



شکل ۷: توزیع سرعت ذرات بر مبنای ذرات معلق در هوا برای دامنه ۱ تا ۶۰۰ میکرون در طول واگن مترو

این مسئله نشان می‌دهد که ذرات سبک و دارای قطر کم به راحتی توسط جریان هوا منتقل می‌شود به طوری که می‌توان ذرات یک تا ۳۰۰ میکرون را عملاً معلق درون هوا در نظر گرفت. طیف وسیعی از ذرات بین ۱ تا ۳۰۰ میکرون درون هوا داخل واگن مترو توانایی انتقال و حرکت دارد سرعت انتقالی نظرات عملاً بر بنای جریان هوا داخلی واگن مترو است به عبارتی دیگر مهم‌ترین پارامتر در انتشار آلودگی درون محیط واگن مترو وجود جریان هوا پیوسته در کل مسیر داخلی است انتقال جریان درون واگن مترو که موجب پراکندگی ذرات بین ۱ تا ۳۰۰ میکرون می‌شود علاوه بر پوشش کل فضای داخلی واگن مترو قابلیت چسبندگی و تهشینی روی سایر محیط‌ها در فواصل دورتر را نیز دارد که این مسئله در فاصله ۲ متری بیشتر ذرات سنگین تهشین می‌شوند که این مسئله با توجه به سرعت هوا درون واگن مترو می‌تواند تغییر پیدا کند تهشینی ذرات بر مبنای انتشار آلودگی و نیز رسوب ذرات حاوی ویروس بر روی بسترها داخلی واگن مترو در این نواحی بسیار زیاد بوده می‌تواند به سرعت موجب افزایش شیوع بیماری می‌شود. نکه بسیار مهم در این



شکل ۹: توزیع ذرات در دامنه کلی واگن مترو

مناسب به کمک فرایندهای محاسباتی می‌آید. به عبارت دیگر برای یک پیش‌بینی دقیق به روش هوش مصنوعی تنها نیاز به آموخته شبکه هوش مصنوعی با داده‌های یک تحلیل است مطابق آنچه شکل شماره ۹ نشان

مبانی محاسبات به دست‌آمده از هوش مصنوعی است یکی از مهم‌ترین کاربردهای هوش مصنوعی کاهش هزینه محاسباتی و پیش‌بینی و ارائه الگویی تطبیقی برای داده‌هایی خارج از منطقه محاسباتی است این مسئله به روش‌های مختلفی انجام می‌شود آن است که سرعت بسیار بالا و نیز دقت

[6].Ivorra, B., et al., 2020, *Mathematical modeling of the spread of the coronavirus disease 2019 (COVID-19) taking into account the undetected infections. The case of China.* Communications in nonlinear science and numerical simulation., **88**: p. 105303.

[7].Chaudhuri, S., et al., 2020, *Modeling the role of respiratory droplets in Covid-19 type pandemics.* Physics of Fluids, **32**(6): p. 063309.

[8].Abuhegazy, M., et al., 2020, *Numerical investigation of aerosol transport in a classroom with relevance to COVID-19.* Physics of Fluids, **32**(10): p. 103311.

[9].Hassani, K. and S. Khorramymehr, 2019, *In silico investigation of sneezing in a full real human upper airway using computational fluid dynamics method.* Computer methods and programs in biomedicine, **177**: p. 203-209.

[10].Singh, R.K. and S.N. Tripathi, 2020, *Application of National Aerosol Facility (NAF) in Designing of a Ventilation System for Isolation Rooms to Minimize Interpersonal Exposure of Sneezing/Coughing.* Transactions of the Indian National Academy of Engineering, p. 1.

[11].Kotb, H. and E.E. Khalil, 2020, *Impact of Sneezed and Coughed Droplets Produced from a Moving Passenger on Other Passengers inside Aircraft Cabins.* in AIAA Propulsion and Energy 2020 Forum.

[12].Hasan, A., 2020, *Tracking the Flu Virus in a Room Mechanical Ventilation Using CFD Tools and Effective Disinfection of an HVAC System.* International Journal of Air-Conditioning and Refrigeration, **28**(02): p. 2050019.

[13].Busco, G., et al., 2020, *Sneezing and asymptomatic virus transmission.* Physics of Fluids, **32**(7): p. 073309.

[14].Verma, S., M. Dhanak, and J. Frankenfield, 2020, *Visualizing droplet dispersal for face shields and masks with exhalation valves.* Physics of Fluids, **32**(9): p. 091701.

[15].Li, H., et al., 2020, *Dispersion of evaporating cough droplets in tropical outdoor environment.* Physics of Fluids, **32**(11): p. 113301.

[16].Christodoulou, L., et al., 2020, *State prediction of an entropy wave advecting through a turbulent channel flow.* Journal of Fluid Mechanics, **882**.

[17].Alizadeh, R., et al., 2020, *Application of Machine Learning to Investigation of Heat and Mass Transfer Over a Cylinder Surrounded by Porous Media-The Radial Basic Function Network.* Journal of Energy Resources Technology, p. 1-18.

[18]Abad, J.M.N., et al., 2020, *Analysis of transport processes in a reacting flow of hybrid nanofluid around a bluff-body embedded in porous media using artificial neural network and particle swarm optimization.* Journal of Molecular Liquids, p. 113492.

[19].Yeoh, G.H. and J. Tu, 2019, *Computational techniques for multiphase flows.* Butterworth-Heinemann.

می‌دهد توزیع ذرات در طول واگن مترو به دلیل تغیرات مختلف ذرات منطبق بر شکل شماره ۸ و الگوهای تنهیتی بوده است.

۶-نتیجه‌گیری

در حال حاضر محافظت در برابر کووید-۱۹ و ایجاد طرح‌های ارزیابی خطر در سلامت و رفاه جامعه نقش اساسی دارد. حمل و نقل عمومی از اصلی ترین مسیرهای انتقال ویروس است. در کمک الگوهای انتشار ویروس و پارامترهای مؤثر بر ماندگاری ویروس در محیط از جمله موارد اصلی مطرح شده در ماههای اخیر است. در این مطالعه، سعی شده است از طریق تعزیزی و تحلیل فرایند عطسه یک فرد آلوده در یک واگن مترو، یک رویکرد جدید برای پیش‌بینی توزیع قطرات ارائه شود. فرایند تشکیل و انتشار قطرات از طریق استفاده از حجم مایعات و روش LES به دهان فرد و محیط اطراف آن مدل‌سازی شد. سپس داده‌های محاسباتی برای توسعه به شبکه عصبی تابع پایه شعاعی برای پیش‌بینی تکامل توزیع قطرات در کل حجم منتقل شده است.

نتایج کلیدی این کار را می‌توان به شرح زیر خلاصه کرد.

۱-شرایط مرزی تأثیر قابل توجهی بر پراکندگی قطرات دارد. سرعت محیط و سرعت اولیه قطرات می‌تواند دامنه تأثیرهای مؤثر را افزایش دهد.

۲-قطرات قطر کوچک‌تر (کمتر از ۲۵۰ میکرون) به احتمال زیاد در هوا معلق باقی مانده و بنابراین به سایر قسمت‌های محیط منتقل می‌شوند.

۳-نتایج نشان می‌دهد که حدود ۵۹٪ از قطرات اولیه در ۲ متر اول فرد عطسه کننده رسوب می‌کند. قطرات قطر بین ۵۰۰ تا ۱۰۰۰ میکرون به احتمال زیاد در این فاصله می‌ریزند و با زمین برخورد می‌کنند.

۴-غلظت قطرات می‌تواند در ۳ متر اول به ۸۷٪ کاهش یابد. با این وجود، این روند به شدت تحت تأثیر دمای محیط و سرعت جریان هوا قرار دارد.

مراجع

- [1].Chen, L.-D., 2020, *Effects of Ambient Temperature and Humidity on Droplet Lifetime–A Perspective of Exhalation Sneeze Droplets with COVID-19 Virus Transmission.* International Journal of Hygiene and Environmental Health, p. 113568.
- [2]. Meccariello, G. and O. Gallo, 2020, *What ENT doctors should know about COVID-19 contagion risks.* Authorea Preprints.
- [3]. Diwan, S.S., et al., 2020, *Understanding Transmission Dynamics of COVID-19-Type Infections by Direct Numerical Simulations of Cough/Sneeze Flows.* Transactions of the Indian National Academy of Engineering, p. 1.
- [4].Rockett, R.J., et al., 2020, *Revealing COVID-19 transmission in Australia by SARS-CoV-2 genome sequencing and agent-based modeling.* Nature medicine, **26**(9): p. 1398-1404.
- [5].Enserink, M. and K. Kupferschmidt, 2020, *With COVID-19, modeling takes on life and death importance.* 2020, American Association for the Advancement of Science.

[20].Kolev, N.I. and N.I. Kolev, 2007, *Multiphase flow dynamics: Fundamentals*. Vol. 1. Springer.

[21].Crowe, C.T., et al., 2011, *Multiphase flows with droplets and particles*. CRC press.

[22].Pope, S.B., 2001, *Turbulent flows*., IOP Publishing.

[23].Gupta, J., C.H. Lin, and Q. Chen, 2009, Flow dynamics and characterization of a cough. Indoor air, 19(6): p. 517-525.

[24].Busco, G., et al., 2020, Sneezing and asymptomatic virus transmission. *Physics of Fluids*, 32(7): p. 073309.

[25].Broomhead, D and D. Lowe, 1988, *Multivariable functional interpolation and adaptive networks*. Complex Systems, no. 2 ,p. 321-355.